

УДК 681.518.2

Баранов В. Л., д-р техн. наук

## АДАПТИВНЫЕ ДИФФЕРЕНЦИАЛЬНЫЕ ПРЕОБРАЗОВАНИЯ И ИХ ПРИМЕНЕНИЕ ДЛЯ РЕШЕНИЯ КРАЕВЫХ ЗАДАЧ

Институт компьютерных технологий Национального авиационного университета

*Предложены дифференциальные преобразования, которые адаптируются к области решения краевых задач математической физики. Приведен пример применения адаптивных дифференциальных преобразований для решения краевой задачи.*

### Постановка проблемы

Решение задач математической физики и моделирование физических процессов на ЭВМ требует применение численных методов решения уравнений в частных производных с граничными условиями. Известные численные методы решения краевых задач характеризуются значительным объемом вычислений на ЭВМ, который не всегда может быть выполнен в пределах заданного ограничения на время моделирования физического процесса.

В связи с этим возникает потребность в разработке методов моделирования, основанных на аналитических и численно-аналитических методах решения краевых задач.

**Анализ последних исследований и публикаций** [1-5] показал, что существующие аналитические и численно-аналитические методы решения краевых задач, основанные на интегральных и дифференциальных преобразованиях, имеют существенные ограничения на класс решаемых задач. Основным недостатком интегральных преобразований связан с ограничением области их применения классом линейных уравнений в частных производных с линейными граничными условиями. Дифференциальные преобразования расширяют область применения на нелинейные краевые задачи, но в значительной мере теряют свою эффективность в случае моделирования физических процессов в областях сложной формы.

**Цель статьи** заключается в разработке адаптивных дифференциальных преобразований, которые позволяют

адаптироваться к сложной форме области моделирования физического процесса.

Рассмотрим  $U(x, y, z)$  непрерывную вместе со своими частными производными функцию по независимым координатам  $x, y, z$  в области, определяемой ограничениями

$$0 \leq x \leq H_x(y, z); \quad 0 \leq y \leq H_y(x, z); \\ 0 \leq z \leq H_z(x, y), \quad (1)$$

где  $H_x, H_y, H_z$  – заданные кусочно-непрерывные функции, описывающие участки границы области  $\Omega$ , в которой моделируется физический процесс.

Адаптивными дифференциальными преобразованиями будем называть систему одномерных дифференциальных преобразований по каждому аргументу  $x, y, z$  следующего вида:

$$U(k, y, z) = \frac{H_x^k(y, z)}{k!} \left[ \frac{\partial^k U(x, y, z)}{\partial x^k} \right]_{x=0}, \quad (2)$$

$$U(x, y, z) = \sum_{k=0}^{\infty} \left( \frac{x}{H_x} \right)^k \cdot U(k, y, z); \quad (3)$$

$$U(x, p, z) = \frac{H_y^p(x, z)}{p!} \left[ \frac{\partial^p U(x, y, z)}{\partial y^p} \right]_{y=0}, \quad (4)$$

$$U(x, y, z) = \sum_{p=0}^{\infty} \left( \frac{y}{H_y} \right)^p \cdot U(x, p, z); \quad (5)$$

$$U(x, y, q) = \frac{H_z^q(x, y)}{q!} \left[ \frac{\partial^q U(x, y, z)}{\partial z^q} \right]_{z=0}, \quad (6)$$

$$U(x, y, z) = \sum_{q=0}^{\infty} \left( \frac{z}{H_z} \right)^q \cdot U(x, y, q). \quad (7)$$

Прямые одномерные дифференциальные преобразования (2) формируют изображение  $U(k, y, z)$  в виде функции непрерывных переменных  $y, z$  и целочис-



ленного аргумента  $k=0,1,2,3,\dots\infty$ . Обратные преобразования (3) позволяют восстановить оригинал  $U(x, y, z)$  по изображению  $U(k, y, z)$ , которое согласно [1, 2] называется дифференциальным спектром по целочисленному аргументу  $k$ . Аналогично, одномерные дифференциальные преобразования (4) дают изображение  $U(x, p, z)$  как функцию непрерывных переменных  $x, z$  и целочисленного аргумента  $p=0,1,2,3,\dots\infty$ . Оригиналу  $U(x, y, z)$  по дифференциальному спектру  $U(x, p, z)$  восстанавливаются обратными преобразованиями (5).

Следующая пара прямых (6) и обратных (7) одномерных дифференциальных преобразований позволяет найти дифференциальный спектр  $U(x, y, q)$  в виде функции непрерывных переменных  $x, y$  и целочисленного аргумента  $q=0,1,2,3,\dots$ , а затем по этому дифференциальному спектру восстановить оригинал  $U(x, y, z)$ .

Основное отличие адаптивных дифференциальных преобразований (1)-(7) от дифференциальных преобразований, предложенных академиком Пуховым Г. Е. в [1, 2], заключается в переменных масштабных функциях  $H_x(y, z)$ ,  $H_y(x, z)$ ,  $H_z(x, y)$ , которые в работах Пухова Г. Е. принимались в виде заданных положительных констант. Наличие переменных масштабных функций в дифференциальных преобразованиях (2)-(7) позволяют адаптировать их к сложной форме области (1), в которой решается краевая задача. В этом заключается основное преимущество адаптивных дифференциальных преобразований (1)-(7) по сравнению с дифференциальными преобразованиями академика Пухова Г. Е. [1, 2].

Если принять масштабные функции  $H_x(y, z)$ ,  $H_y(x, z)$ ,  $H_z(x, y)$  постоянными, то дифференциальные преобразования (1)-(7) совпадают с дифференциальными преобразованиями академика Пухова Г. Е. [1, 2].

В работах [1, 2] показана инвариантность свойств дифференциальных

преобразований к выбору масштабов  $H_x, H_y, H_z$ .

Следовательно, адаптивные дифференциальные преобразования (1)-(7) обладают всеми свойствами дифференциальных преобразований, предложенных в [1, 2]. Математические операции в области изображений, например для преобразований вида (2), выполняются согласно выражениям (8)-(11):

$$U(x, y, z) \pm V(x, y, z) \Leftrightarrow U(k, y, z) \pm V(k, y, z), \quad (8)$$

$$C \cdot U(x, y, z) \Leftrightarrow C \cdot U(k, y, z), \quad (9)$$

$$U(x, y, z) \cdot V(x, y, z) \Leftrightarrow U(k, y, z) * V(k, y, z), \quad (10)$$

$$\frac{\partial^m U(x, y, z)}{\partial x^m} \Leftrightarrow D_x^m \cdot U(k, y, z), \quad (11)$$

где  $\Leftrightarrow$  – символ соответствия между оригиналом и изображением,

\* – символ операции умножения в области изображений,

$D_x^m$  – символ операции  $m$ -кратного дифференцирования функции  $U(x, y, z)$  по переменной  $x$  в области изображений (2),

$C$  – произвольная константа.

Операции умножения и дифференцирования реализуются в области изображений с помощью обычных операций алгебраического суммирования и умножения над дифференциальными спектрами следующим образом:

$$U(k, y, z) * V(k, y, z) = \sum_{l=0}^{k-k} U(l, y, z) \cdot V(k-l, y, z), \quad (12)$$

$$D_x^m U(k, y, z) = \frac{(k+m)!}{k! H_x^m} U(k+m, y, z). \quad (13)$$

Выражение (8) показывает, что операциям сложения-вычитания оригиналов соответствуют те же операции с изображениями. Умножение на константу  $C$  функции  $U(x, y, z)$  выполняется в области изображений (2) умножением дифференциального спектра  $U(k, y, z)$  на ту же константу (9). Операции умножения двух функций  $U(x, y, z)$  и  $V(x, y, z)$  соответствует в области изображений (2) умножение двух дифференциальных спектров



(10) согласно выражению (12). Операция  $m$ -кратного дифференцирования функции  $U(x, y, z)$  по переменной  $x$  в области изображений (2) обозначена символом  $D_x^m$  в (11) и выполняется согласно выражению (13) сдвигом на  $m$  дифференциального спектра  $U(k, y, z)$  по целочисленному аргументу  $k$  и умножению его на коэффициенты  $\frac{(k+m)!}{k!H_x^m}$ .

Аналогичным образом, выполняются математические операции с дифференциальными спектрами  $U(x, p, z)$  и  $U(x, y, q)$ .

Решение краевых задач или моделирование физических процессов в областях сложной формы во многих практических приложениях не требует применения полной системы адаптивных дифференциальных преобразований (1)-(7).

Искомая функция  $U(x, y, z)$  может быть получена одним из трех способов (3), (5), (7) на основе одного из трех дифференциальных спектров  $U(k, y, z)$ ,  $U(x, p, z)$  и  $U(x, y, q)$ . Поэтому, для решения краевых задач во многих случаях достаточно воспользоваться одной парой прямых и обратных преобразований (2), (3) или (4), (5), или (6), (7). Выбор вида пары дифференциальных преобразований из системы (1)-(7) определяется в основном формой области, в которой решается краевая задача или моделируется физический процесс.

Процесс решения краевых задач или моделирования физических процессов в области сложной формы на основе адаптивных дифференциальных преобразований (1)-(7) покажем на примере тестовой краевой задачи, приведенной в [6]. Пусть область  $\Omega$  есть круг радиуса  $R = \pi$  с врезом вдоль в виде части синусоиды  $AOB$  (рис. 1). Требуется решить краевую задачу в области  $\Omega$  для уравнения Пуассона:

$$\frac{\partial^2 U(x, y)}{\partial x^2} + \frac{\partial^2 U(x, y)}{\partial y^2} = 4, \quad (x, y) \in \Omega, \quad (14)$$

с граничными условиями на границе  $\Gamma$  области  $\Omega$

$$U|_{\Gamma} = \begin{cases} \pi^2, & (x, y) \in \Gamma_1, \\ x^2 + \sin^2 x, & (x, y) \in \Gamma_2, \end{cases} \quad (15)$$

$$(16)$$

где  $\Gamma_1$  – окружность  $\pi^2 - x^2 - y^2 = 0$ ,

$\Gamma_2$  – синусоидальный врез  $AOB$ :  $y = \sin x$ .

Разобьем область  $\Omega$  на три области  $\Omega_1, \Omega_2, \Omega_3$  так, что  $\Omega = \Omega_1 \cup \Omega_2 \cup \Omega_3$ . В качестве области  $\Omega_1$  примем область в форме сегмента (рис.1), отсекаемого от круга прямой  $x = \frac{\pi}{2}$ . Область  $\Omega_2$  заключена в верхней части круга между синусоидальным врезом  $AOB$ , отрезком  $AC$  прямой  $x = \frac{\pi}{2}$  и верхней частью окружности  $BC$ . Область  $\Omega_3$  расположена в нижней части круга между синусоидальным врезом  $AOB$ , отрезком  $AD$  прямой  $x = \frac{\pi}{2}$  и нижней частью окружности  $BD$ .

В данной задаче граничные условия (15), (16) описываются в явном виде относительно координат  $Y$ . Поэтому масштабная функция  $H_y(x)$  непосредственно выражается через отрезки границ области  $\Omega$  в виде  $H_y(x) = \sqrt{\pi^2 - x^2}$  для окружности и в форме  $H_y(x) = \sin x$  в случае синусоидального вреза.

Следовательно, одномерные дифференциальные преобразования необходимо выбрать по переменной  $Y$  согласно выражениям (4) и (5). Дифференциальные преобразования (4) адаптированы к области  $\Omega$ , так как позволяют выразить граничные условия (15), (16) через дифференциальный спектр (4) на основе обратного преобразования (5) в виде:

$$U[x, y = H_y(x)] = \begin{cases} \sum_{p=0}^{\infty} U(x, p) = \pi^2, \\ \text{при } H_y(x) = \sqrt{\pi^2 - x^2}; \end{cases} \quad (17)$$

$$= \begin{cases} \sum_{p=0}^{\infty} U(x, p) = x^2 + \sin^2 x, \\ \text{при } H_y(x) = \sin x. \end{cases} \quad (18)$$



Переведем уравнение Пуассона (14) дифференциальными преобразованиями (4) в область изображений. С этой целью предварительно преобразуем уравнение (14) к виду:

$$\frac{\partial^2 U(x, y)}{\partial y^2} = 4 - \frac{\partial^2 U(x, y)}{\partial x^2}. \quad (19)$$

Для дифференциальных преобразований (4) операция двукратного дифференцирования функции  $U(X, Y)$  по переменной  $Y$  в области изображений описывается выражением аналогичным (13):

$$\begin{aligned} D_y^2 U(x, p) &= \frac{(p+2)!}{p! H_y^2} U(x, p+2) = \\ &= \frac{(p+1)(p+2)}{H_y^2} U(x, p+2). \end{aligned} \quad (20)$$

Дифференциальное уравнение (19) в области изображений (4) с учетом выражения (20) принимает вид:

$$U(x, p+2) = \frac{H_y^2}{(p+1)(p+2)} \cdot \left[ 4\sigma(p) - \frac{\partial^2 U(x, p)}{\partial x^2} \right], \quad (21)$$

$$\text{где } \sigma(p) = \begin{cases} 1, & p=0, \\ 0, & p \neq 0. \end{cases}$$

Дифференциальный спектр  $U(x, p)$  строится последовательным присвоением целочисленному аргументу значений  $p=0, 1, 2, 3, \dots$  и вычислением дискрет дифференциального спектра по рекуррентному выражению (21). Для начала рекуррентного вычисления дискрет дифференциального спектра по выражению (21) необходимо иметь начальные дискреты  $U(x, 0)$  и  $U(x, 1)$ .

Ввиду отсутствия информации о начальных дискретах  $U(x, 0)$  и  $U(x, 1)$  воспользуемся выражением (4) при  $p=0$  и  $p=1$ . В результате дискреты  $U(x, 0)$  и  $U(x, 1)$  можно задать в виде:

$$U(x, 0) = \varphi(x); \quad U(x, 1) = H_y(x)\psi(x), \quad (22)$$

где  $\varphi(x)$  и  $\psi(x)$  — неизвестные функции, подлежащие определению.

Следующую дискрету дифференциального спектра  $U(x, 2)$  найдем по выражению (21) при  $p=0$ :

$$U(x, 2) = \frac{H_y^2(x)}{2} [4 - \ddot{\varphi}(x)], \quad (23)$$

$$\text{где } \ddot{\varphi}(x) = \frac{\partial^2 U(x, 0)}{\partial x^2} = \frac{\partial^2 \varphi(x)}{\partial x^2}.$$

Ограничим дифференциальный спектр  $U(x, p)$  тремя дискретами (22), (23):

$$U(x, 0) = \varphi(x); \quad U(x, 1) = H_y \psi(x);$$

$$U(x, 2) = \frac{H_y^2}{2} [4 - \ddot{\varphi}(x)]. \quad (24)$$

Подставим дифференциальный спектр (24) в граничное условие (17) для положительных и отрицательных значений  $H_y(x) = \pm \sqrt{\pi^2 - x^2}$  в области  $\Omega_1$ . В результате имеем два уравнения:

$$\varphi(x) + H_y \psi(x) + \frac{H_y^2}{2} [4 - \ddot{\varphi}(x)] = \pi^2, \quad (25)$$

$$\varphi(x) - H_y \psi(x) + \frac{H_y^2}{2} [4 - \ddot{\varphi}(x)] = \pi^2. \quad (26)$$

Вычитая уравнение (25) из уравнения (26), находим неизвестную функцию  $\psi(x) = 0$ . В результате дифференциальный спектр (24) преобразуется к виду:

$$U(x, 0) = \varphi(x); \quad U(x, 1) = 0;$$

$$U(x, 2) = \frac{H_y^2}{2} [4 - \ddot{\varphi}(x)]. \quad (27)$$

Граничное условие (17) с учетом дифференциального спектра (27) дает обыкновенное дифференциальное уравнение для определения  $\varphi(x)$  в области  $\Omega_1$ :

$$\varphi(x) + \frac{1}{2} (\pi^2 - x^2) [4 - \ddot{\varphi}(x)] = \pi^2. \quad (28)$$

Уравнению (28) удовлетворяет функция  $\varphi(x) = x^2$ . В результате дифференциальный спектр (27) определяется следующим образом:

$$U(x, 0) = x^2; \quad U(x, 1) = 0; \quad U(x, 2) = H_y^2. \quad (29)$$

Подставляя дифференциальный спектр (29) в выражение обратных преобразований (5), получаем решение краевой задачи в области  $\Omega_1$

$$U(x, y) = \sum_{p=0}^{\infty} \left( \frac{y}{H_y} \right)^p \cdot U(x, p) = x^2 + y^2. (30)$$

В областях  $\Omega_2$  и  $\Omega_3$  решение краевой задачи должно удовлетворять граничным условиям (17) и (18). Решение краевой задачи в области изображений (29) удовлетворяет граничному условию (17). Это решение необходимо проверить на выполнение граничного условия (18) при  $H_y(x) = \sin x$ .

Подстановка дифференциального спектра (29) при  $H_y(x) = \sin x$  в уравнение (18) обращает его в тождество. Следовательно, дифференциальный спектр (29) удовлетворяет граничным условиям (17) и (18), а решение краевой задачи в области оригиналов (30), полученные для области  $\Omega_1$ , распространяется на всю область  $\Omega = \Omega_1 \cup \Omega_2 \cup \Omega_3$ .

Следует заметить, что решение (30) краевой задачи (14)-(16), полученное с помощью адаптивных дифференциальных преобразований (4), (5), точно удовлетворяет уравнению Пуассона (14) и граничным условиям (15), (16).

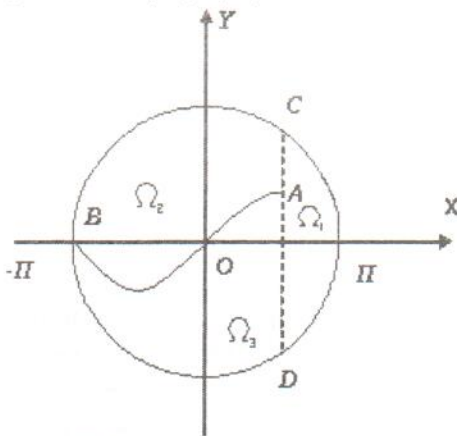


Рис. 1. Область решения краевой задачи

## Выводы

Предложенные адаптивные дифференциальные преобразования позволяют адаптироваться к сложной форме области решения краевой задачи. Адаптивные дифференциальные преобразования расширяют область применения аналитических и численно-аналитических методов на нелинейные краевые задачи в областях сложной формы.

## Список литературы

1. Пухов Г. Е. Дифференциальные преобразования функций и уравнений. – К.: Наук. думка, 1984. – 420 с.
2. Пухов Г. Е. Дифференциальные спектры и модели. – К.: Наук. думка, 1990. – 184 с.
3. Поршнев С. В. Вычислительная математика. – С.Пб.: БХВ-Петербург, 2004. – 320 с.
4. Рвачев В. Л., Слесаренко А. П. Алгебра логики и интегральные преобразования в краевых задачах. – К.: Наук. думка, 1976. – 288 с.
5. Баранов В. Л., Водоп'ян С. В., Костюченко Р. М. Моделивання фізичних процесів методом одноірних диференціальних перетворень крайових задач // Проблеми інформатизації та управління: зб. наук. пр. – Вип. 3. – К.: НАУ, 2005. – с. 25-30.
6. Рвачев В. Л. Теория R-функций и некоторые ее приложения. – К.: Наук. думка, 1982. – 552 с.